

Lösungsvorschlag

Aufgabe 1 Kubische B-Splines und de Boor Algorithmus (6 Punkte)

Eine kubische Spline-Kurve hinsichtlich der Knoten

$$x_{-3} = x_{-2} = x_{-1} = x_0 = 0 < x_1 = 1 < x_2 = 2 < x_3 = x_4 = x_5 = x_6 = 3$$

sei gegeben durch die B-Spline-Darstellung

$$S(t) = B_{-3}^3(t) \begin{pmatrix} 7 \\ 3 \end{pmatrix} + B_{-2}^3(t) \begin{pmatrix} 5 \\ 3 \end{pmatrix} + B_{-1}^3(t) \begin{pmatrix} 4 \\ 0 \end{pmatrix} + B_0^3(t) \begin{pmatrix} 1 \\ 2 \end{pmatrix} + B_1^3(t) \begin{pmatrix} 3 \\ 3 \end{pmatrix} + B_2^3(t) \begin{pmatrix} 1 \\ 4 \end{pmatrix}$$

mit $t \in [0, 3]$.

- a) Berechnen Sie zu den gegebenen Knoten die B-Spline Basisfunktion $B_{-2}^3(t)$ unter Verwendung des Rekursionsschemas von de Boor & Cox:

$$B_i^q(t) = \begin{cases} \frac{t-x_i}{x_{i+q}-x_i} B_i^{q-1}(t) & x_i < x_{i+q} \\ & x_{i+1} = \dots = x_{i+q+1} \\ \frac{t-x_i}{x_{i+q}-x_i} B_i^{q-1}(t) + \frac{x_{i+q+1}-t}{x_{i+q+1}-x_{i+1}} B_{i+1}^{q-1}(t) & x_i < x_{i+q} \\ & x_{i+1} < x_{i+q+1} \\ \frac{x_{i+q+1}-t}{x_{i+q+1}-x_{i+1}} B_{i+1}^{q-1}(t) & x_i = \dots = x_{i+q} \\ & x_{i+1} < x_{i+q+1} \end{cases}$$

Machen Sie sich dabei zunächst anhand eines Dreiecksschemas klar, welche $B_i^q(t)$ in der Rekursion benötigt werden. Stellen Sie dann mit aufsteigendem q die Basisfunktionen $B_i^q(t)$ auf und skizzieren Sie diese in einen Graphen. (Für jedes q einen eigenen Graphen.)

Hinweis: es gilt $B_i^0 = 0$ für $i < 0$.

3 Punkte

Lösungsvorschlag

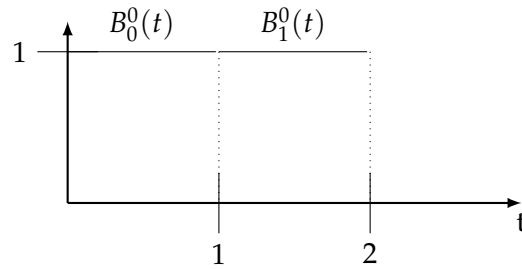
$B_{-2}^3(t)$ hat folgende Abhängigkeiten:

$$\begin{array}{ccccccc} & & & & & B_{-2}^0(t) & \\ & & & & & B_{-2}^1(t) & \\ & & & & & B_{-1}^0(t) & \\ B_{-2}^3(t) & & B_{-2}^2(t) & & B_{-1}^1(t) & & B_0^0(t) \\ & & B_{-1}^2(t) & & B_0^1(t) & & B_1^0(t) \end{array}$$

$B_{-2}^0(t)$ und $B_{-1}^0(t)$ sind per Definition 0, wodurch auch $B_{-2}^1(t)$ 0 ist. Die B-Spline Basisfunktionen vom Grad 0 sind:

$$B_0^0(t) = \begin{cases} 1 & t \in [0, 1) \\ 0 & \text{sonst} \end{cases}$$

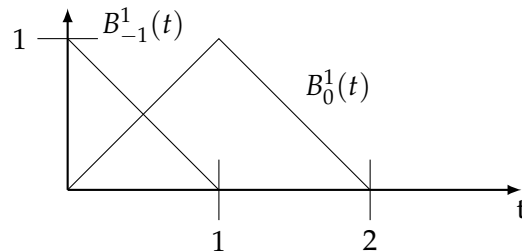
$$B_1^0(t) = \begin{cases} 1 & t \in [1, 2) \\ 0 & \text{sonst} \end{cases}$$



Die B-Spline Basisfunktionen vom Grad 1 berechnen sich wie folgt:

$$B_{-1}^1(t) = \frac{x_1 - t}{x_1 - x_0} B_0^0(t) = (1 - t) B_0^0(t) = \begin{cases} 1 - t & t \in [0, 1) \\ 0 & \text{sonst} \end{cases}$$

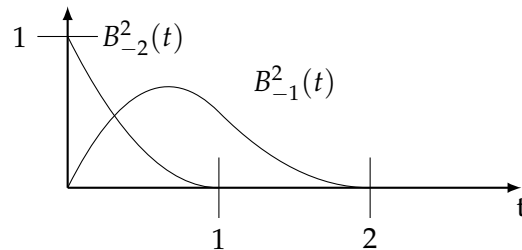
$$B_0^1(t) = \frac{t - x_0}{x_1 - x_0} B_0^0(t) + \frac{x_2 - t}{x_2 - x_1} B_1^0(t) = t B_0^0(t) + (2 - t) B_1^0(t) = \begin{cases} t & t \in [0, 1) \\ 2 - t & t \in [1, 2) \\ 0 & \text{sonst} \end{cases}$$



Die B-Spline Basisfunktionen vom Grad 2 berechnen sich dann durch:

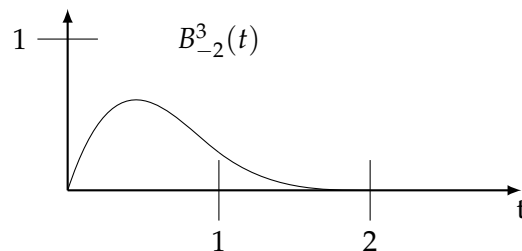
$$B_{-2}^2(t) = \frac{x_1 - t}{x_1 - x_{-1}} B_{-1}^1(t) = (1 - t) B_{-1}^1(t) = \begin{cases} (1 - t)^2 & t \in [0, 1) \\ 0 & \text{sonst} \end{cases}$$

$$\begin{aligned} B_{-1}^2(t) &= \frac{t - x_{-1}}{x_1 - x_{-1}} B_{-1}^1(t) + \frac{x_2 - t}{x_2 - x_0} B_0^1(t) = t B_{-1}^1(t) + (1 - \frac{t}{2}) B_0^1(t) \\ &= \begin{cases} 2t - \frac{3}{2}t^2 & t \in [0, 1) \\ 2 - 2t + \frac{1}{2}t^2 & t \in [1, 2) \\ 0 & \text{sonst} \end{cases} \end{aligned}$$



Schließlich kann $B_{-2}^3(t)$ berechnet werden:

$$\begin{aligned} B_{-2}^3(t) &= \frac{t - x_{-2}}{x_1 - x_{-2}} B_{-2}^2(t) + \frac{x_2 - t}{x_2 - x_{-1}} B_{-1}^2(t) = t B_{-2}^2(t) + \left(1 - \frac{t}{2}\right) B_{-1}^2(t) \\ &= \begin{cases} t(1-t)^2 + (1-\frac{t}{2})(2t-\frac{3}{2}t^2) & t \in [0,1) \\ (1-\frac{t}{2})(2-2t+\frac{1}{2}t^2) & t \in [1,2) \\ 0 & \text{sonst} \end{cases} \\ &= \begin{cases} 3t - \frac{9}{2}t^2 + \frac{7}{4}t^3 & t \in [0,1) \\ 2 - 3t + \frac{3}{2}t^2 - \frac{1}{4}t^3 & t \in [1,2) \\ 0 & \text{sonst} \end{cases} \end{aligned}$$



- b) Berechnen Sie den Wert $\mathbf{S}(\xi)$ für $\xi = 1.5$ unter Verwendung des de Boor-Algorithmus. Geben Sie hierbei die Gewichte $\lambda_{0,i}^{[\ell]}(\xi)$ sowie alle Einträge $\mathbf{b}_i^{[\ell]}$ des zugehörigen Dreiecksschemas an. Geben Sie eine graphische Darstellung Ihrer Berechnungen (alle Punkte $\mathbf{b}_i^{[\ell]}$ und C_S beinhaltend).

3 Punkte

Lösungsvorschlag

Da $\xi = 1.5 \in [1,2] = [x_j, x_{j+1}] = [x_1, x_2]$ ist $j = 1$. Aus $q = 3$ folgt $i = -2, -1, 0, 1$. Im Dreiecksschema werden dann folgende Werte berechnet:

$$\begin{array}{ccccccc} & & & & * & b_{-2}^{[0]} & \\ & & & & \lambda_{0,-1}^{[1]} & b_{-1}^{[1]} & \\ & & & * & \lambda_{0,0}^{[2]} & b_{-1}^{[0]} & b_0^{[2]} \\ & & \lambda_{0,1}^{[3]} & & \lambda_{0,0}^{[1]} & b_0^{[1]} & b_1^{[3]} \\ & & \lambda_{0,1}^{[2]} & & * & b_0^{[0]} & b_1^{[2]} \\ & & \lambda_{0,1}^{[1]} & & * & b_1^{[1]} & \\ & & & * & & b_1^{[0]} & \end{array}$$

Mit $\lambda_{0,i}^{[\ell]}(t) = \frac{x_{i+q+1-\ell} - t}{x_{i+q+1-\ell} - x_i}$, $t = \xi = 1.5$ und $q = 3$ ergeben sich folgende Werte auf der linken Seite des Dreiecksschemas:

$$\begin{array}{ccccccc} & & & & * & & \\ & & & & \lambda_{0,-1}^{[1]} = \frac{1}{4} & * & \\ & & & \lambda_{0,0}^{[2]} = \frac{1}{4} & & * & \\ \lambda_{0,1}^{[3]} = \frac{1}{2} & & & \lambda_{0,0}^{[1]} = \frac{1}{2} & & * & \\ & & \lambda_{0,1}^{[2]} = \frac{3}{4} & & \lambda_{0,1}^{[1]} = \frac{3}{4} & * & \\ & & & & & * & \end{array}$$

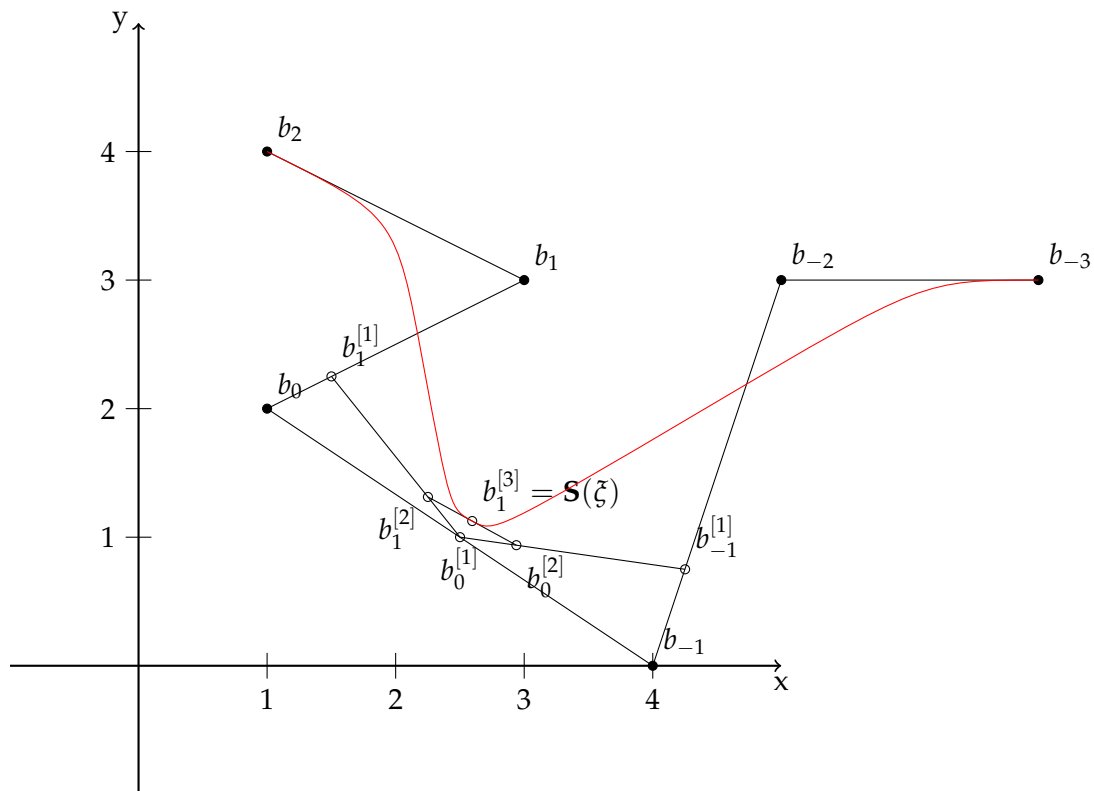
Mit $a = b_{-2}, b = b_{-1}, c = b_0, d = b_1$ berechnet sich die rechte Seite dann wie folgt:

$$\begin{array}{rcl}
 & * & a \\
 \frac{1}{4} & & \frac{1}{4}a + \frac{3}{4}b \\
 & * & b \\
 \frac{1}{4} & & \frac{1}{4}(\frac{1}{4}a + \frac{3}{4}b) + \frac{3}{4}(\frac{1}{2}b + \frac{1}{2}c) \\
 & & = \frac{1}{16}a + \frac{9}{16}b + \frac{3}{8}c \\
 \frac{1}{2} & & \frac{1}{2}b + \frac{1}{2}c \\
 & * & c \\
 \frac{3}{4} & & \frac{3}{4}(\frac{1}{2}b + \frac{1}{2}c) + \frac{1}{4}(\frac{3}{4}c + \frac{1}{4}d) \\
 & & = \frac{3}{8}b + \frac{9}{16}c + \frac{1}{16}d \\
 & & \frac{3}{4}c + \frac{1}{4}d \\
 & * & d \\
 \frac{3}{4} & &
 \end{array}
 \quad
 \frac{1}{32}a + \frac{15}{32}b + \frac{15}{32}c + \frac{1}{32}d$$

Dies ergibt speziell die folgende, rechte Seite:

$$\begin{aligned}
 \mathbf{b}_{-2}^{[0]} &= \begin{pmatrix} 5 \\ 3 \end{pmatrix} & \mathbf{b}_{-1}^{[1]} &= \begin{pmatrix} 4.25 \\ 0.75 \end{pmatrix} \\
 \mathbf{b}_{-1}^{[0]} &= \begin{pmatrix} 4 \\ 0 \end{pmatrix} & \mathbf{b}_0^{[2]} &= \begin{pmatrix} 2.94 \\ 0.94 \end{pmatrix} \\
 & & \mathbf{b}_0^{[1]} &= \begin{pmatrix} 2.5 \\ 1 \end{pmatrix} & \mathbf{b}_1^{[3]} &= \begin{pmatrix} 2.59 \\ 1.13 \end{pmatrix} \\
 \mathbf{b}_0^{[0]} &= \begin{pmatrix} 1 \\ 2 \end{pmatrix} & \mathbf{b}_1^{[2]} &= \begin{pmatrix} 2.25 \\ 1.31 \end{pmatrix} \\
 & & \mathbf{b}_1^{[1]} &= \begin{pmatrix} 1.5 \\ 2.25 \end{pmatrix} \\
 \mathbf{b}_1^{[0]} &= \begin{pmatrix} 3 \\ 3 \end{pmatrix}
 \end{aligned}$$

Skizze:



Aufgabe 2 Bernstein-Bézier-Tensorprodukte (7 Punkte)

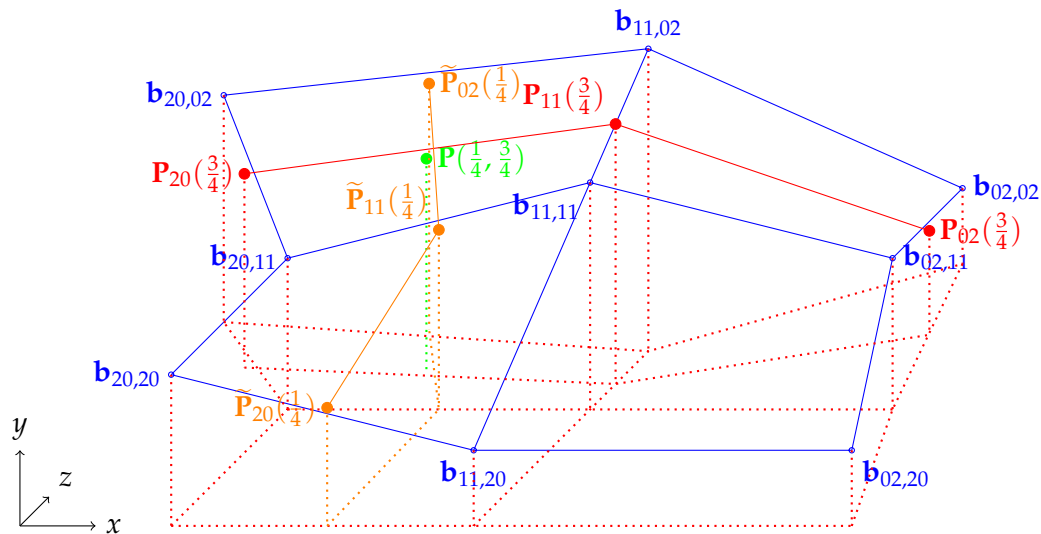
a) Gegeben sei ein biquadratischer BB-Patch

$$\mathbf{P}(u, v) = \sum_{i_0+j_0=2} \sum_{i_1+j_1=2} B_{i_0j_0}(u) \cdot B_{i_1j_1}(v) \cdot \mathbf{b}_{i_0j_0, i_1j_1}$$

mit univariaten Bernstein Polynomen in $u \in [0, 1]$ und in $v \in [0, 1]$.

Folgende Kontrollpunkte spannen das Patch auf:

i_0j_0	20	11	02
i_1j_1			
02	$\begin{pmatrix} -3 \\ 3 \\ 7 \end{pmatrix}$	$\begin{pmatrix} 3 \\ 4 \\ 6 \end{pmatrix}$	$\begin{pmatrix} 6 \\ 1 \\ 9 \end{pmatrix}$
11	$\begin{pmatrix} -1 \\ 2 \\ 4 \end{pmatrix}$	$\begin{pmatrix} 3 \\ 3 \\ 4 \end{pmatrix}$	$\begin{pmatrix} 7 \\ 2 \\ 4 \end{pmatrix}$
20	$\begin{pmatrix} -1 \\ 2 \\ 0 \end{pmatrix}$	$\begin{pmatrix} 3 \\ 1 \\ 0 \end{pmatrix}$	$\begin{pmatrix} 8 \\ 1 \\ 0 \end{pmatrix}$



Wenden Sie den Algorithmus von de Casteljau an, um \mathbf{P} im Punkt $(u, v) = (\frac{1}{4}, \frac{3}{4})$ auszuwerten. Zeichnen Sie anschließend die resultierenden Punkte der $(q+2)$ de Casteljau Auswertungen in die Skizze ein.

3 Punkte

Lösungsvorschlag

Wir werten den Patch zuerst für $v = \frac{3}{4}$ und $i_0 + j_0 = 2$ aus, wobei $\lambda_0 = 1 - v = 0.25$. Wir formulieren die Gleichung also folgenderweise um und bestimmen zuerst die innere Summe:

$$\begin{aligned}
 \mathbf{P}\left(\frac{1}{4}, \frac{3}{4}\right) &= \sum_{i_0+j_0=2} \sum_{i_1+j_1=2} B_{i_0j_0}\left(\frac{1}{4}\right) \cdot B_{i_1j_1}\left(\frac{3}{4}\right) \cdot \mathbf{b}_{i_0j_0, i_1j_1} \\
 &= \sum_{i_0+j_0=2} B_{i_0j_0}\left(\frac{1}{4}\right) \underbrace{\sum_{i_1+j_1=2} B_{i_1j_1}\left(\frac{3}{4}\right) \cdot \mathbf{b}_{i_0j_0, i_1j_1}}_{\mathbf{P}_{i_0j_0}\left(\frac{3}{4}\right)} \\
 \mathbf{P}_{i_0j_0}\left(\frac{3}{4}\right) &= \sum_{i_1+j_1=2} B_{i_1j_1}\left(\frac{3}{4}\right) \cdot \mathbf{b}_{i_0j_0, i_1j_1} \quad \text{für } i_0 + j_0 = 2
 \end{aligned}$$

Für $\mathbf{P}_{20}\left(\frac{3}{4}\right)$ (siehe Skizze) lautet die Gleichung also:

$$\mathbf{P}_{20}\left(\frac{3}{4}\right) = \sum_{i_1+j_1=2} B_{i_1j_1}\left(\frac{3}{4}\right) \cdot \mathbf{b}_{20, i_1j_1} = B_{20}\left(\frac{3}{4}\right) \cdot \mathbf{b}_{20,20} + B_{11}\left(\frac{3}{4}\right) \cdot \mathbf{b}_{20,11} + B_{02}\left(\frac{3}{4}\right) \cdot \mathbf{b}_{20,02}$$

Mit dem de Casteljau-Algorithmus erhalten wir die Lösung:

$$\begin{pmatrix} -1 \\ 2 \\ 0 \end{pmatrix} \quad \begin{pmatrix} -1 \\ 2 \\ 3 \end{pmatrix} \quad \begin{pmatrix} -1 \\ 2 \\ 4 \end{pmatrix} \quad \begin{pmatrix} -2.13 \\ 2.56 \\ 5.44 \end{pmatrix} \quad \begin{pmatrix} -2.5 \\ 2.75 \\ 6.25 \end{pmatrix} \quad \begin{pmatrix} -3 \\ 3 \\ 7 \end{pmatrix} \quad \text{mit } \lambda_0 = 0.25$$

Auf gleiche Weise lassen sich die Punkte auf den anderen Parameterkurven berechnen und wir erhalten

$$\mathbf{P}_{20}(0.75) = \begin{pmatrix} -2.13 \\ 2.56 \\ 5.44 \end{pmatrix} \quad \mathbf{P}_{11}(0.75) = \begin{pmatrix} 3 \\ 3.44 \\ 4.88 \end{pmatrix} \quad \mathbf{P}_{02}(0.75) = \begin{pmatrix} 6.5 \\ 1.38 \\ 6.56 \end{pmatrix}$$

Nun bestimmen wir den endgültigen Punkt, indem wir die äußere Summe mittels de Casteljau auswerten:

$$\mathbf{P}\left(\frac{1}{4}, \frac{3}{4}\right) = \sum_{i_0+j_0=2} B_{i_0j_0}\left(\frac{1}{4}\right) \mathbf{P}_{i_0j_0}\left(\frac{3}{4}\right) = \begin{pmatrix} 0.34 \\ 2.82 \\ 5.3 \end{pmatrix}$$

$$\begin{pmatrix} -2.13 \\ 2.56 \\ 5.44 \end{pmatrix} \quad \begin{pmatrix} -0.84 \\ 2.78 \\ 5.3 \end{pmatrix} \quad \begin{pmatrix} 0.34 \\ 2.82 \\ 5.3 \end{pmatrix} \quad \text{mit } \lambda_0 = 0.75 \\
 \begin{pmatrix} 3 \\ 3.44 \\ 4.88 \end{pmatrix} \quad \begin{pmatrix} 3.88 \\ 2.92 \\ 5.3 \end{pmatrix} \\
 \begin{pmatrix} 6.5 \\ 1.38 \\ 6.56 \end{pmatrix}$$

Wird die Doppelsumme anders aufgelöst (Auswertung zuerst mit $u = 0.25$), so ergeben sich folgende Punkte (siehe Skizze)

$$\tilde{\mathbf{P}}_{20}(0.25) = \begin{pmatrix} 1.06 \\ 1.56 \\ 0 \end{pmatrix} \quad \tilde{\mathbf{P}}_{11}(0.25) = \begin{pmatrix} 1 \\ 2.38 \\ 4 \end{pmatrix} \quad \tilde{\mathbf{P}}_{02}(0.25) = \begin{pmatrix} -0.19 \\ 3.25 \\ 6.75 \end{pmatrix}$$

b) Gegeben sei ein Bernstein-Bézier-Tensorprodukt (biquadratisch)

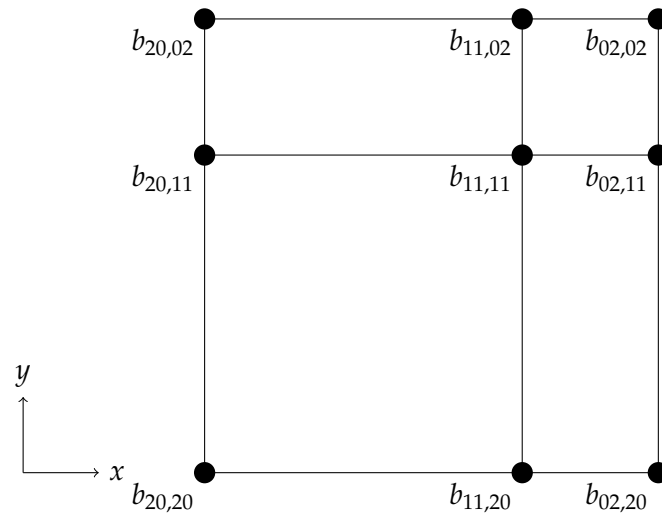
$$P(u, v) = \sum_{i_0+j_0=2} \sum_{i_1+j_1=2} B_{i_0j_0}(u) B_{i_1j_1}(v) b_{i_0j_0, i_1j_1}, \quad u, v \in [0, 1] \times [0, 1]$$

wobei die $b_{i_0j_0, i_1j_1}$ gegeben sind als

$$\begin{aligned}
 b_{20,02} &= \begin{pmatrix} 0 \\ 1 \\ 0 \end{pmatrix}, & b_{11,02} &= \begin{pmatrix} 0.7 \\ 1 \\ 0 \end{pmatrix}, & b_{02,02} &= \begin{pmatrix} 1 \\ 1 \\ 0 \end{pmatrix}, \\
 b_{20,11} &= \begin{pmatrix} 0 \\ 0.7 \\ 0 \end{pmatrix}, & b_{11,11} &= \begin{pmatrix} 0.7 \\ 0.7 \\ 0 \end{pmatrix}, & b_{02,11} &= \begin{pmatrix} 1 \\ 0.7 \\ 0 \end{pmatrix}, \\
 b_{20,20} &= \begin{pmatrix} 0 \\ 0 \\ 0 \end{pmatrix}, & b_{11,20} &= \begin{pmatrix} 0.7 \\ 0 \\ 0 \end{pmatrix}, & b_{02,20} &= \begin{pmatrix} 1 \\ 0 \\ 0 \end{pmatrix}.
 \end{aligned}$$

Führen Sie einen Unterteilungsschritt aus, so dass P bezüglich der vier verfeinerten Tensorprodukte über $[0, 0] \times [\frac{1}{2}, \frac{1}{2}]$, $[0, \frac{1}{2}] \times [\frac{1}{2}, 1]$, $[\frac{1}{2}, 0] \times [1, \frac{1}{2}]$, $[\frac{1}{2}, \frac{1}{2}] \times [1, 1]$ dargestellt wird.

Zeichnen Sie die neu erzeugten Kontrollpunkte in das Gitter ein.



2 Punkte

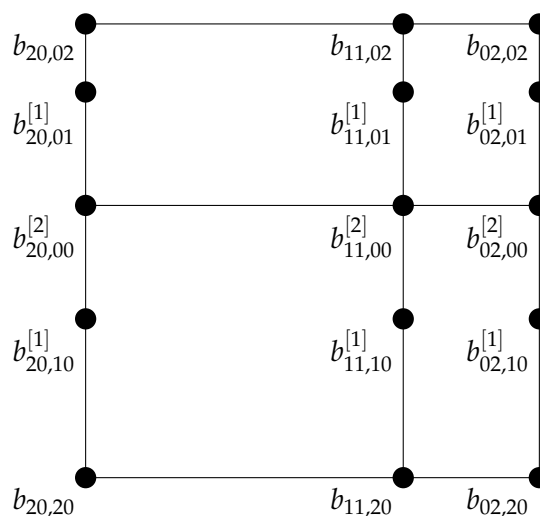
Lösungsvorschlag

Wir führen zunächst $q + 1$ -mal den deCasteljau-Algorithmus für festes $v_0 = 0.5$ und alle $u_{ij} = j/q$, mit $i + j = q$ aus:

$$u_{20} : b_{20,10}^{[1]} = \begin{pmatrix} 0 \\ 0.35 \\ 0 \end{pmatrix}, \quad b_{20,01}^{[1]} = \begin{pmatrix} 0 \\ 0.85 \\ 0 \end{pmatrix}, \quad b_{20,00}^{[2]} = \begin{pmatrix} 0 \\ 0.6 \\ 0 \end{pmatrix}$$

$$u_{11} : b_{11,10}^{[1]} = \begin{pmatrix} 0.7 \\ 0.35 \\ 0 \end{pmatrix}, \quad b_{11,01}^{[1]} = \begin{pmatrix} 0.7 \\ 0.85 \\ 0 \end{pmatrix}, \quad b_{11,00}^{[2]} = \begin{pmatrix} 0.7 \\ 0.6 \\ 0 \end{pmatrix}$$

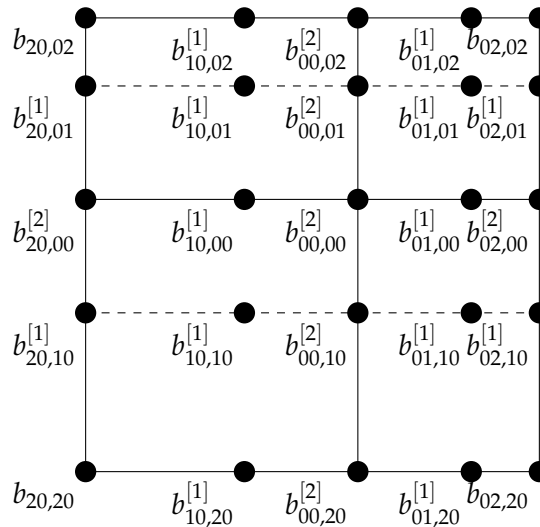
$$u_{02} : b_{02,10}^{[1]} = \begin{pmatrix} 1 \\ 0.35 \\ 0 \end{pmatrix}, \quad b_{02,01}^{[1]} = \begin{pmatrix} 1 \\ 0.85 \\ 0 \end{pmatrix}, \quad b_{02,00}^{[2]} = \begin{pmatrix} 1 \\ 0.6 \\ 0 \end{pmatrix}$$



Nun müssen wir $2q + 2$ -mal de Casteljau für festes $u_0 = 0.5$ und alle Reihen von (neu

erzeugten) Kontrollpunkten durchführen:

$$\begin{aligned}
 b_{ij,20} : \quad & b_{10,20}^{[1]} = \begin{pmatrix} 0.35 \\ 0 \\ 0 \end{pmatrix}, \quad b_{01,20}^{[1]} = \begin{pmatrix} 0.85 \\ 0 \\ 0 \end{pmatrix}, \quad b_{00,20}^{[2]} = \begin{pmatrix} 0.6 \\ 0 \\ 0 \end{pmatrix} \\
 b_{ij,10} : \quad & b_{10,10}^{[1]} = \begin{pmatrix} 0.35 \\ 0.35 \\ 0 \end{pmatrix}, \quad b_{01,10}^{[1]} = \begin{pmatrix} 0.85 \\ 0.35 \\ 0 \end{pmatrix}, \quad b_{00,10}^{[2]} = \begin{pmatrix} 0.6 \\ 0.35 \\ 0 \end{pmatrix} \\
 b_{ij,00} : \quad & b_{10,00}^{[1]} = \begin{pmatrix} 0.35 \\ 0.6 \\ 0 \end{pmatrix}, \quad b_{01,00}^{[1]} = \begin{pmatrix} 0.85 \\ 0.6 \\ 0 \end{pmatrix}, \quad b_{00,00}^{[2]} = \begin{pmatrix} 0.6 \\ 0.6 \\ 0 \end{pmatrix} \\
 b_{ij,01} : \quad & b_{10,01}^{[1]} = \begin{pmatrix} 0.35 \\ 0.85 \\ 0 \end{pmatrix}, \quad b_{01,01}^{[1]} = \begin{pmatrix} 0.85 \\ 0.85 \\ 0 \end{pmatrix}, \quad b_{00,01}^{[2]} = \begin{pmatrix} 0.6 \\ 0.85 \\ 0 \end{pmatrix} \\
 b_{ij,02} : \quad & b_{10,02}^{[1]} = \begin{pmatrix} 0.35 \\ 1 \\ 0 \end{pmatrix}, \quad b_{01,02}^{[1]} = \begin{pmatrix} 0.85 \\ 1 \\ 0 \end{pmatrix}, \quad b_{00,02}^{[2]} = \begin{pmatrix} 0.6 \\ 1 \\ 0 \end{pmatrix}
 \end{aligned}$$



- c) Das **4-Punkte-Schema** von Dyn, Gregory & Levin berechnet ausgehend von einer (geordneten) Menge von Werten

$$\mathbf{P}_i \in \mathbb{R}^d, \quad i = 0, \dots, n,$$

(mit $\mathbf{P}_{-1} := \mathbf{P}_n, \mathbf{P}_{n+1} := \mathbf{P}_0, \mathbf{P}_{n+2} := \mathbf{P}_1$) eine neue Menge von Werten nach der Vorschrift

$$\begin{aligned}
 \tilde{\mathbf{P}}_{2i} &:= \mathbf{P}_i, \\
 \tilde{\mathbf{P}}_{2i+1} &:= -\frac{1}{16}\mathbf{P}_{i-1} + \frac{9}{16}\mathbf{P}_i + \frac{9}{16}\mathbf{P}_{i+1} - \frac{1}{16}\mathbf{P}_{i+2}, \quad i = 0, \dots, n
 \end{aligned}$$

(vergleichbar dem Chaikin-Algorithmus bzw. dem Verfeinerungsschema nach Cohen & Schumaker aus der Vorlesung).

Bestimmen Sie die Punkt-, Kanten- und Flächen-Masken (an den regulären Punkten mit Valenz $k = 4$) der Tensor-Produkt-Verallgemeinerung des univariaten 4-Punkte-Schemas.

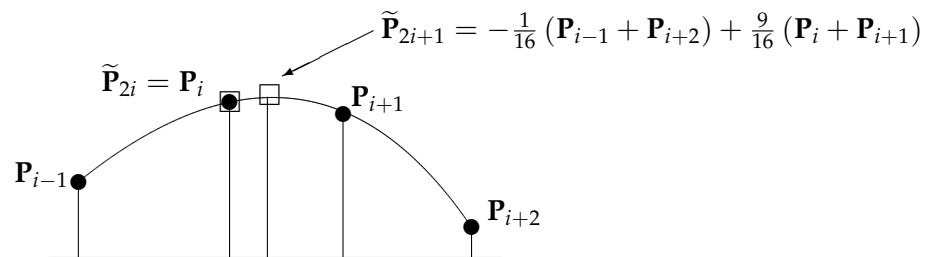
Sie können analog wie am kubischen C^2 -Unterteilungsschema aus der Vorlesung gezeigt vorgehen. Sie müssen keine Regeln für irreguläre Punkte aufstellen.

2 Punkte

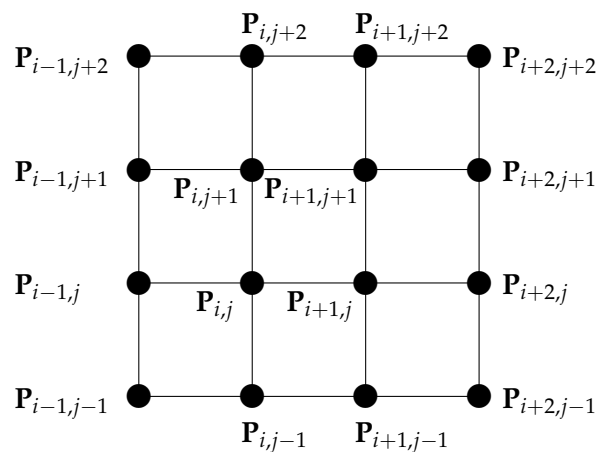
Lösungsvorschlag

3 Fälle: Punkt-Masken, Kanten-Masken und Flächen-Masken

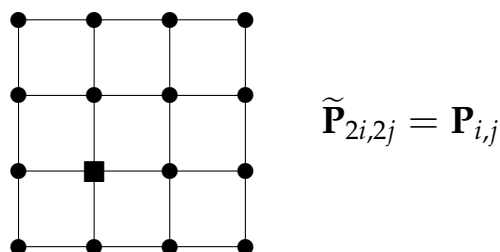
univariates Schema:



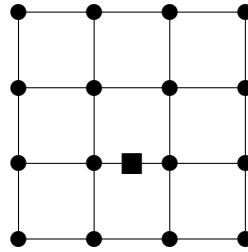
Das Tensorschema verwendet folgende Punkte:



Da die Interpolationseigenschaft erhalten bleiben soll, ergibt sich die einfache Punktmaske

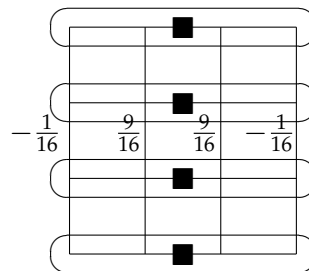


Da das Schema auf jeder Kante das univariate Schema wiedergeben sollte, ergibt sich auf jeder Kante die folgende Maske (Kantenmasken)



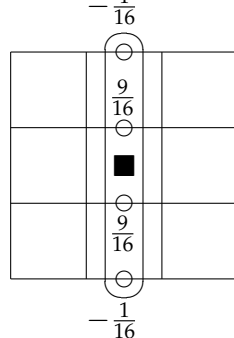
$$\tilde{P}_{2i+1,j} = -\frac{1}{16} (P_{i-1,j} + P_{i+2,j}) + \frac{9}{16} (P_{i,j} + P_{i+1,j})$$

Für die Flächen-Maske müssen wir das Schema zuerst für alle Reihen von Kontrollpunkten anwenden:

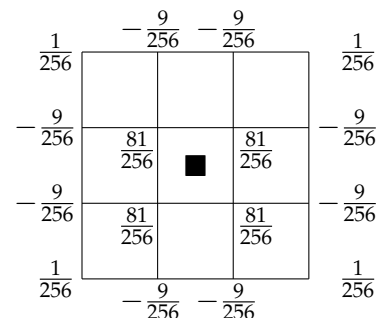


■ : neue Kantenpunkte
(festgelegt durch viermaliges Anwenden des univariaten 4-Punkt-Schemas – horizontal)

Dies führt auf die \Rightarrow Face-Maske:



ausrechnen
 \rightsquigarrow
(unten)



Also:
$$\begin{aligned} \tilde{P}_{2i+2,j+1} = & -\frac{1}{16} \left(-\frac{1}{16} (P_{i-1,j-1} + P_{i+2,j-1}) + \frac{9}{16} (P_{i,j-1} + P_{i+1,j-1}) \right) \\ & + \frac{9}{16} \left(-\frac{1}{16} (P_{i-1,j} + P_{i+2,j}) + \frac{9}{16} (P_{i,j} + P_{i+1,j}) \right) \\ & + \frac{9}{16} \left(-\frac{1}{16} (P_{i-1,j+1} + P_{i+2,j+1}) + \frac{9}{16} (P_{i,j+1} + P_{i+1,j+1}) \right) \\ & - \frac{1}{16} \left(-\frac{1}{16} (P_{i-1,j+2} + P_{i+2,j+2}) + \frac{9}{16} (P_{i,j+2} + P_{i+1,j+2}) \right) \end{aligned}$$

Die Verallgemeinerung dieses regulären Schemas auf extra-ordinary vertices nennt man in der Literatur *Kobbelt-Schema*.

Aufgabe 3 Implizite Oberflächen (7 Punkte)

a) Gegeben sei die implizite Oberfläche

$$f(x, y, z) := x^2 + 2y^2 + 4z^2 - 10 = 0$$

und der Strahl

$$r(t) = \begin{pmatrix} x \\ y \\ z \end{pmatrix} = \begin{pmatrix} 0 \\ 0 \\ 0 \end{pmatrix} + t \cdot \begin{pmatrix} 1 \\ 1 \\ 1 \end{pmatrix}.$$

Isolieren Sie mittels Intervall-Arithmetik die Nullstelle der Kurve entlang des Strahles. In welchem Teilintervall $[t_0, t_1]$ gibt es genau eine Nullstelle? Starten Sie mit dem Intervall $[-4, 2]$ für t . Bestimmen Sie anschließend den Wert für t einer Nullstelle mittels refinements auf eine Nachkommastelle genau.

Bemerkung: Berücksichtigen Sie dass in der Intervall-Arithmetik die Potenzen nicht auf die Multiplikation zurückgeführt werden sollten, da die Faktoren hierdurch unabhängig voneinander betrachtet werden würden. Durch eine unabhängige Betrachtung würde zum Beispiel $[-2, 2]^2 = [-2, 2] \cdot [-2, 2] = [-4, 4]$ sein, obwohl für gegebenes $x \in [-2, 2]$ die Werte einer Funktion $f(x) = x^2$ in $[0, 4]$ liegen.

Deshalb werden für Potenzen zusätzliche Regeln definiert:

Für ungerade Potenzen:

$$[a, b]^n = [a^n, b^n]$$

Für gerade Potenzen:

$$\begin{aligned} [a, b]^n &= [a^n, b^n], \text{ falls } a \geq 0 \\ [a, b]^n &= [b^n, a^n], \text{ falls } b \leq 0 \\ [a, b]^n &= [0, \max\{a^n, b^n\}], \text{ sonst} \end{aligned}$$

3 Punkte

Lösungsvorschlag

Wir setzen zuerst den Strahl in die Gleichung der Oberfläche ein:

$$\begin{aligned} f(r(t)) &= f(t, t, t) \\ &= t^2 + 2t^2 + 4t^2 - 10 \\ &= 7t^2 - 10 \end{aligned}$$

Wir benötigen ebenfalls die Ableitung:

$$f'(r(t)) = 14t$$

Nun isolieren wir die Nullstelle mittels Intervall-Arithmetik:

$$\begin{aligned}
 f(r([-4, 2])) &= 7[-4, 2]^2 - 10 \\
 &= 7[0, 16] + [-10, -10] \\
 &= [0, 112] + [-10, -10] \\
 &= [-10, 102] && \text{Null enthalten, Ableitung prüfen} \\
 f'(r([-4, 2])) &= 14[-4, 2] \\
 &= [-56, 28] && f \text{ nicht monoton, Intervall unterteilen} \\
 f(r([-4, -1])) &= 7[-4, -1]^2 - 10 \\
 &= 7[1, 16] + [-10, -10] \\
 &= [7, 112] + [-10, -10] \\
 &= [-3, 102] && \text{Null enthalten, Ableitung prüfen} \\
 f'(r([-4, -1])) &= 14[-4, -1] \\
 &= [-56, -14] && f \text{ monoton, refinement starten}
 \end{aligned}$$

Im Intervall $[-4, -1]$ besitzt f mindestens eine Nullstelle. f ist in diesem Intervall allerdings auch monoton (Ableitung enthält keine Null) und enthält somit genau eine Nullstelle. Wir starten nun das refinement zur genauen Bestimmung.

$$\begin{aligned}
 f(r(-4)) &= 102 \\
 f(r(-1)) &= -3 \\
 f(r(-2.5)) &= 33.75 && \text{zwischen -2.5 und -1} \\
 f(r(-1.75)) &= 11.438 && \text{zwischen -1.75 und -1} \\
 f(r(-1.375)) &= 3.234 && \text{zwischen -1.375 und -1} \\
 f(r(-1.1875)) &= -0.129 && \text{zwischen -1.375 und -1.1875} \\
 f(r(-1.28125)) &= 1.491 && \text{zwischen -1.28125 und -1.1875} \\
 f(r(-1.234375)) &= 0.666 && \text{zwischen -1.234375 und -1.1875}
 \end{aligned}$$

Das refinement liefert die Nullstelle im Intervall $[-1.234375, -1.1875]$. An der Nullstelle ist der Parameter $t = -1.2$ (auf eine Nachkommastelle genau).

- b) Implizite Funktionen $f : \mathbb{R}^3 \rightarrow \mathbb{R}$ teilen den Raum \mathbb{R}^3 in ein Inneres $\{\mathbf{p} \in \mathbb{R}^3 : f(\mathbf{p}) < 0\}$ und Äußeres $\{\mathbf{p} \in \mathbb{R}^3 : f(\mathbf{p}) > 0\}$. Die Nullstellenmenge $K = f^{-1}(0) = \{\mathbf{p} \in \mathbb{R}^3 : f(\mathbf{p}) = 0\}$ beschreibt eine Oberfläche.

Welche Körper werden durch folgende Funktionen beschrieben?

- $f_1(x, y, z) = z - y$
die Ebene $y = z$ durch den Ursprung
- $f_2(x, y, z) = x^2 + y^2 - 4$
ein Zylinder mit Radius 2 entlang der z -Achse durch den Ursprung
- $f_3(x, y, z) = (x - 2)^2 + (y - 3)^2 + (z - 2)^2 - 4$
eine Kugel mit dem Mittelpunkt $(2, 3, 2)^T$ und dem Radius 2
- $f_4(x, y, z) = x^2 + \frac{1}{2}y^2 + 2z^2 - 1$
eine in y -Richtung gestaucht und in z -Richtung gestreckte Kugel (Ellipsoid)

Geben Sie außerdem für jede Funktion eine Formel für die Oberflächennormale der dargestellten Oberfläche an.

2 Punkte

Lösungsvorschlag

Die Normalen berechnen sich durch den Gradienten der Impliziten Funktion $\nabla f(x, y, z)$. Das Symbol ∇ ist der Nabla Operator, der hier über die partiellen Ableitungen in alle drei Richtungen das Gradientenfeld bestimmt.

$$\nabla = \begin{pmatrix} \partial/\partial x \\ \partial/\partial y \\ \partial/\partial z \end{pmatrix}$$

$$\text{i) } \nabla f_1(x, y, z) = \begin{pmatrix} 0 \\ -1 \\ 1 \end{pmatrix}$$

$$\text{ii) } \nabla f_2(x, y, z) = \begin{pmatrix} 2x \\ 2y \\ 0 \end{pmatrix}$$

$$\text{iii) } \nabla f_3(x, y, z) = \begin{pmatrix} 2x - 4 \\ 2y - 6 \\ 2z - 4 \end{pmatrix}$$

$$\text{iiii) } \nabla f_4(x, y, z) = \begin{pmatrix} 2x \\ y \\ 4z \end{pmatrix}$$

Die Oberflächennormale entspricht dann für jeden Punkt $\mathbf{p} = (x, y, z)$, welcher auf der Oberfläche liegt $f(\mathbf{p}) = 0$, dem Gradienten. Wobei die Oberflächennormale nicht definiert ist falls $\nabla f(x, y, z) = (0, 0, 0)$. Dies ist hier für f_1 bis f_4 für keinen Oberflächenpunkt ($f(\mathbf{p}) = 0$) der Fall.

c) Die Vereinigung \cup , der Schnitt \cap und die Differenz \setminus zweier Flächen impliziert durch die Funktionen f_1 und f_2 sind bestimmt durch:

$$\cup(f_1(x, y, z), f_2(x, y, z)) = \min\{f_1(x, y, z), f_2(x, y, z)\}$$

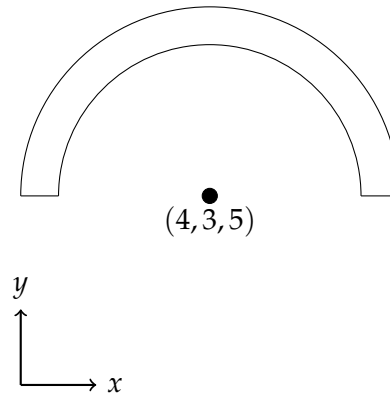
$$\cap(f_1(x, y, z), f_2(x, y, z)) = \max\{f_1(x, y, z), f_2(x, y, z)\}$$

$$\setminus(f_1(x, y, z), f_2(x, y, z)) = \max\{f_1(x, y, z), -f_2(x, y, z)\}$$

Nutzen Sie diese Operationen um folgende Volumenelemente zu beschreiben.

- i) Eine Halbkugel mit Radius 2 und Mittelpunkt in $(4, 3, 5)$.
- ii) Eine runde Schale mit Innenradius 4 und Außenradius 5. Wie der folgenden Zeichnung zu entnehmen ist die Schale um den Punkt $(4, 3, 5)$ orientiert. Oben-Richtung ist y . Sie können hierfür beliebig Zwischenfunktionen definieren.

Hinweis: Beachten Sie dass bei der Kombination von Funktionen nicht nur wichtig ist wie die Oberfläche ($f(\mathbf{p}) = 0$) durch die Funktion definiert ist, sondern insbesondere auch wie das Innere ($f(\mathbf{p}) < 0$) und das Äußere ($f(\mathbf{p}) > 0$) durch die Funktion definiert ist.



2 Punkte

Lösungsvorschlag

- i) Die Halbkugel ergibt sich durch den Schnitt der Kugel um den Punkt $(4, 3, 5)$ und einer beliebigen Ebene welche den Punkt $(4, 3, 5)$ enthält.

$$f(x, y, z) = \max\{(x - 4)^2 + (y - 3)^2 + (z - 5)^2 - 4, -(y - 3)\}$$

- ii) Wir erstellen drei Hilfsfunktionen.

Eine Innen-nach-Außen gekehrte Kugel mit Radius 4 und Mittelpunkt $\begin{pmatrix} 4 \\ 3 \\ 5 \end{pmatrix}$:

$$f_1(x, y, z) = -(x - 4)^2 - (y - 3)^2 - (z - 5)^2 + 16$$

Eine normale Kugel mit Radius 5 und Mittelpunkt $\begin{pmatrix} 4 \\ 3 \\ 5 \end{pmatrix}$:

$$f_2(x, y, z) = (x - 4)^2 + (y - 3)^2 + (z - 5)^2 - 25$$

Eine xz -Ebene durch $\begin{pmatrix} 0 \\ 3 \\ 0 \end{pmatrix}$ mit dem Inneren oberhalb der Ebene:

$$f_3(x, y, z) = -(y - 3)$$

Die Halbschale ist die Vereinigung aller Funktionen:

$$f(x, y, z) = \max\{f_1(x, y, z), f_2(x, y, z), f_3(x, y, z)\}$$